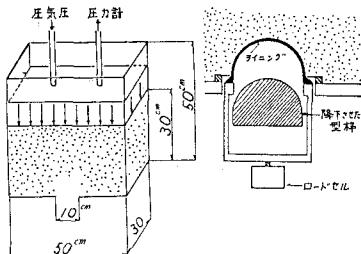


早稲田大学 理工学部  
同大学院

正会員 森 麟  
学生員 ○川村 哲也

1. はじめに

トンネル切羽の進行等による、ライニングに作用する荷重が増加する場合、ライニングに変形が起るならば、その変形による地山中の応力再配分による変形しなかった場合よりもライニングに作用する荷重の増加量は、小くなるものとなる。このように変形とライニングに作用する荷重の間には密接な関係がある。本研究では、モデル実験より載荷圧を増加させた時の変形量と作用荷重の関係を求め、ライニングの荷重支持メカニズムと破壊条件を調査した。



2. 実験概要

本研究では、降下床実験における変形と降下床反力の関係を利用するため Fig. 1 に示すような降下床とライニング模型実験を行ない、載荷圧を増加させた時の変形量と反力の変化を求めた。地山は乾燥した豊浦砂を締固めて作り、ライニングは粘土・石粉・固結剤・水の混合物を 30cm x 20cm の薄板状に伸ばし、半円筒形型枠に載せて一日養生したものをを用いている。尚、載荷速度は 30秒で 0.1 kg/cm<sup>2</sup> とした。

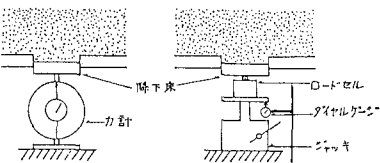


Fig. 1 実験装置既写

降下床実験では、力計とロードセルを用いて反力を測定している。力計の場合、力計の下端を固定し、載荷圧を増加した時、力計の変形だけを計した。このようにして、剛性の異なる5種の力計について行った。ロードセルの場合、載荷と同時に、一定量の変形をジャッキで与え、その時の反力を測定した。

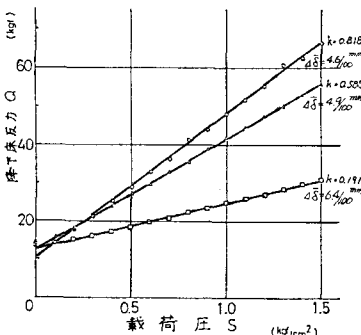


Fig. 2 力計降下床 載荷圧-降下床反力の関係

ライニング実験では、最初型枠にライニングを支持させ、砂詰め後、その型枠を降下することにより、ライニングを自立させた。その後、一定速度で載荷して、0.1 kg/cm<sup>2</sup> の増加ごとに、天端鉛直変位  $\Delta L$  及び鉛直ライニング反力  $Q_L$  を測定した。

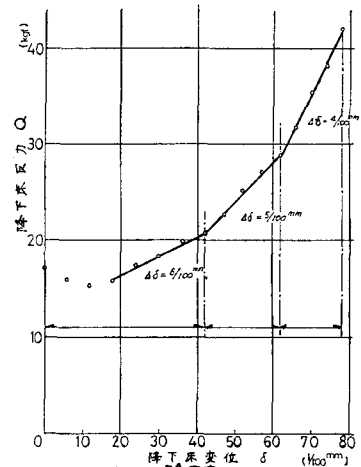


Fig. 3 ロードセル降下床 降下床変位-降下床反力の関係

3. 実験結果

降下床実験結果の一例を Fig. 2, 3 に示す。これらの図では載荷圧増加  $\Delta S = 0.1 \text{ kg/cm}^2$  ごとに 17 ポイントしている。図の直線性より、 $\Delta S = 0.1 \text{ kg/cm}^2$  が作用した時、変位増分  $\Delta \delta$  が決まると、反力増分  $\Delta Q$  が決まることが判る。Fig. 4 はこの  $\Delta S - \Delta Q$  関係を表わしている。Fig. 4 は、 $\Delta \delta$  が小さいと  $\Delta Q$  が大きく、 $\Delta \delta$  が大きいと  $\Delta Q$  が小さい傾向を示している。この図では、2曲線に挟まれる範囲に実験結果が入っているが、これは砂の詰り方のバラツキのためと考えられ、一般に  $\Delta \delta - \Delta Q$  関係は、一定地山では一曲线で表われると思われる。さらに Fig. 4 は、 $\Delta S$  に応じて、比例移動することにより、他の  $\Delta S$  ( $0.1 \text{ kg/cm}^2$  以外) についても用いることができる。

次にトンネル模型実験結果の一例を Fig. 5 に示す。これは一定速度で載荷圧を増加させた時の  $\Delta L - Q_L$  関係を示し、 $\Delta S = 0.1 \text{ kg/cm}^2$  増加ごとに 17 ポイントしている。このようにライニングは載荷圧増加に伴い、破壊直前まで降下床実験と同様にほぼ直線的な  $\Delta L - Q_L$  関係を示し、 $\Delta S = 0.1 \text{ kg/cm}^2$  作用時の  $\Delta S_L, \Delta Q_L$  はこの区間ではほぼ一定である。このときの直線勾配(即ちライニング剛性)は、厚いライニング程大きく、 $\Delta \delta$  が小さいと  $\Delta Q$  は大きくなる。  $\Delta L - Q_L$  関係が直線的である部分で、平均  $\Delta \delta_L, \Delta Q_L$  を求め、各ライニングごとに 7 ポイントすると Fig. 6 となる。Fig. 6 では、ライ

ニング厚まで、3種のグループに分け、厚い順に○、△、□とした。この図から分かるように、厚いライングは△が小さく、△Qが大き。薄いライングはその逆である。また、降下床実験より得た範囲内にほとんどのプロットがあり、降下床実験とよく一致している。つまり、ΔS作用時のライング反力Q<sub>L</sub>の増加は、降下床と同様のメカニズムに支配されていることが確認できる。

Fig 7に3種のライング厚グループそれぞれ平均Δδ<sub>L</sub>、ΔQ<sub>L</sub>をプロットしたのがB<sub>1</sub>、B<sub>2</sub>、B<sub>3</sub>である。Fig 7を用いてライングの支保メカニズムを説明おと以下のようにする。ΔS=0.1<sup>kg/cm<sup>2</sup></sup>作用時のΔδ<sub>L</sub>、ΔQ<sub>L</sub>はB<sub>i</sub>(i=1,2,3)で示さる。つまり図中の曲線ABCは地山自身の変形と作用荷重の増加を示し、あるライングに発生するΔδ<sub>L</sub>、ΔQ<sub>L</sub>はこの曲線上の一点となる。またライングは弾性挙動を示している間、その剛性で、原点OからE<sub>i</sub>(i=1,2,3)に向かう直線上に、その変形と反力の増加は限定される。この場合、ライングの剛性によりOE<sub>i</sub>の勾配は決まる。従って、この2つの条件を基にB<sub>i</sub>(i=1,2,3)がΔSによる発生するΔδ<sub>L</sub>、ΔQ<sub>L</sub>を示す点となる。Fig 7で地山自身のΔδ-ΔQ関係を示す曲線ABCは、降下床実験と得た範囲の中心線とした。

ライングの破壊をその反力Q<sub>L</sub>のピーク時とし、この反力をライングの円周方向断面の応力に直して求めた破壊圧縮応力σ<sub>b</sub>とライング厚との関係をFig 8に示す。ライング材の軸圧縮強度は1.55<sup>kg/cm<sup>2</sup></sup>、破壊ひずみは1%程度である。Fig 8は、厚いライングほど、圧縮強度に近い値で破壊しており、薄いライングでもこの強度に近い値で破壊しているものもあることを示している。さらに変位1<sup>mm</sup>程度でライングの多くは破壊しており、この時の圧縮ひずみを、半円形断面の応力として計算すると1%程度になること、半円形ライングの場合、破壊は、円周方向に圧縮されたことによる圧縮破壊と考えられる。もし薄いライングの平均破壊応力が圧縮強度より低い理由としては、発生すると考えられる小さな曲げモメントに対する抵抗力が小さいためと考えられる。また本実験で用いたφ=2%前後の薄肉ライングが大きな載荷圧に耐えることができるのは、その大部分を地山が支持し、ライングは曲げモメントによる応力状態であると推定される。

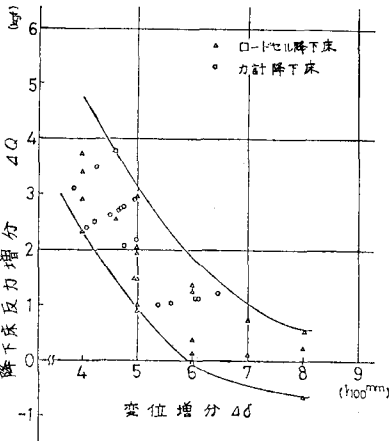


Fig 4 降下床 変位増分-降下床反力増分の関係

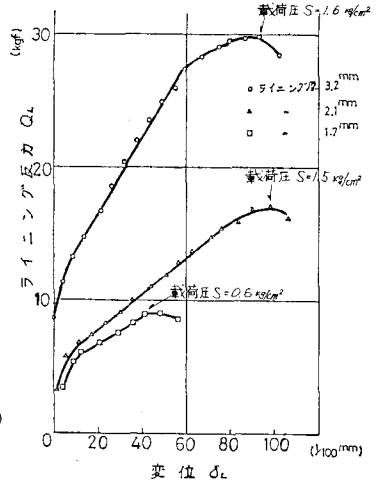


Fig 5 ライング変位-反力の関係

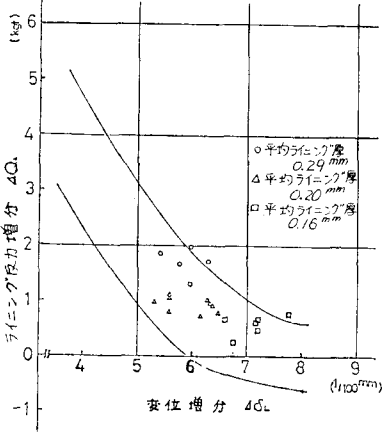


Fig 6 ライング 変位増分-ライング反力増分の関係

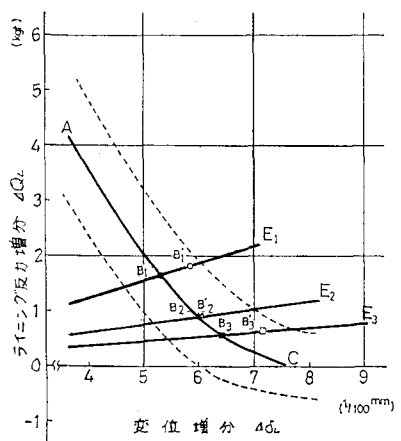


Fig 7 支保機構説明図

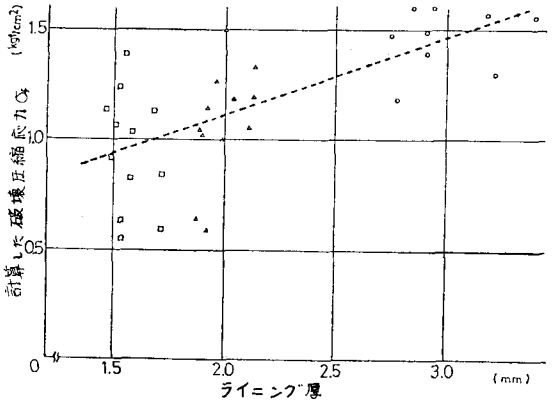


Fig 8 ライング厚-破壊圧縮応力の関係